

СКВИДОВАЯ ПРИРОДА МИКРОВОЛНОВОГО ПОГЛОЩЕНИЯ В ВТСП-МОНОКРИСТАЛЛЕ Но–Ва–Си–О

© М.К. Алиев, Г.Р. Алимов, Т.М. Муминов, Б.Олимов, И.Холбаев

Научно-исследовательский институт прикладной физики
при Ташкентском государственном университете,
700000 Ташкент, Узбекистан

(Поступила в Редакцию 13 марта 1996 г.

В окончательной редакции 8 июля 1996 г.)

На модифицированном ЭПР-спектрометре при температурах $T > 78$ К исследовался ВТСП-моноокристалл $\text{No}_1\text{Ba}_2\text{Cu}_3\text{O}_{7-\delta}$ с $T_c = 86.8$ К. Наблюдался сигнал, спектр которого в области полей $H < 0.7$ Ое имел вид эквидистантных линий поглощения с интервалом $\Delta H = 9 \cdot 10^{-3}$ Ое. Была подробно измерена зависимость спектра от амплитуды СВЧ-поля, от температуры и от ориентации моноокристалла. Установлено, что спектр поглощения имеет характер поведения, свойственный сквиду с критическим током, линейно спадающим с ростом T . Тремя разными способами был определен «параметр гистерезисности» предполагаемого сквигда — $L i_c / \Phi_0$ (L , i_c — индуктивность и критический ток сквигда, Φ_0 — квант магнитного потока). Все три способа дали одинаковый результат, $L i_c(T = 79\text{ K})/\Phi_0 = 3.1 \pm 0.3$, свидетельствуя тем самым в пользу существования сквидоподобной структуры в моноокристалле.

В связи с открытием высокотемпературной сверхпроводимости ЭПР-спектрометр, помимо своего прямого предназначения, стал использоваться как инструмент исследования микроволнового поглощения в высокотемпературных сверхпроводниках (ВТСП). Одним из наиболее интересных явлений, обнаруженных с помощью ЭПР-спектрометров, является периодическая зависимость микроволнового поглощения в ВТСП-моноокристаллах типа 1–2–3 от внешнего магнитного поля H (период $\Delta H \approx 10^{-2}$ Ое) [1–7]. Хотя имеется единое мнение, что это явление представляет собой макроскопический квантовый эффект, сам механизм микроволнового поглощения до сих пор еще не получил однозначного объяснения. В работах [4, 5] было сделано предположение, что указанный эффект обусловлен существованием в ВТСП-моноокристалле сквидоподобных структур. В данной работе мы подтверждаем справедливость этого предположения, основываясь на количественной самосогласованности в рамках сквидовой модели всей совокупности экспериментальных данных, полученных в результате более подробных измерений.

1. Методика эксперимента

В эксперименте использовался ЭПР-спектрометр SE/X-2543 «RADIOPAN» ($\nu \approx 9$ GHz, $P_{\max} = 130$ mW) с резонатором типа TE_{102} . Магнитное поле создавалось катушками Гельмгольца. Резонатор был удален из электромагнита спектрометра и вместе с катушками Гельмгольца помещен в магнитный экран, подавляющий поле Земли более чем в 100 раз.

Созданная нами температурная система позволяла стабильно поддерживать температуру образца при любом ее значении из интервала $78 < T < 100$ K с точностью не хуже ± 0.1 K. В эксперименте использовалась традиционная для ЭПР-спектрометров геометрия полей $H \perp H_1$ (H — постоянное поле, H_1 — СВЧ-поле).

Исследованный образец представляет собой монокристалл $\text{Ho}_1\text{Ba}_2\text{Cu}_3\text{O}_{7-\delta}$, имеющий вид пластиинки размером $1.0 \times 0.7 \times 0.1$ mm. Плоскость пластиинки совпадает с кристаллографической плоскостью (ab), кристаллографическая же ось с соответственно параллельна наименьшему ребру монокристалла. Измерения проводились при ориентациях монокристалла с $c \perp H_1$, угол φ между c и H мог меняться вращением монокристалла вокруг направления H_1 .

Сигнал микроволнового поглощения регистрировался модуляционным методом при частоте модуляции H -поля $\nu_m = 100$ kHz. В дальнейшем мы этот сигнал будем обозначать как « $\partial R / \partial H$ » (R — поглощение), где кавычки подчеркивают условность такого обозначения: ввиду свойственного для исследованного монокристалла резкого характера зависимости $R(H)$, использованные нами амплитуды модуляции H -поля ($h_m \geq 1.25$ mOe), оказались в общем случае недостаточно малыми для того, чтобы в строгом смысле можно было бы интерпретировать регистрируемый сигнал как производную от поглощения.

Перед каждым очередным измерением спектра сигнала образец отогревался выше критической температуры и затем охлаждался до нужной температуры в нулевом поле ($H \sim 1$ mOe).

Критическая температуры исследованного образца, определенная по положению пика сверхпроводящего перехода, наблюдавшегося в температурной зависимости сигнала при полях $H > 30$ Oe и больших модуляциях H -поля, имела значение $T_c = 86.8 \pm 0.2$ K (о пике сверхпроводящего перехода см. [8,9]).

2. Экспериментальные результаты

При малых модуляциях поля $h_m = 10^{-3} - 10^{-2}$ Oe и при величинах подводимой к резонатору СВЧ-мощности, превышающих определенное для заданной температуры пороговое значение, наблюдался сигнал, осциллирующий при изменении поля H . Период осцилляций сигнала по H не зависел от СВЧ-мощности и изменялся только при вращении кристалла. Наименьший период осцилляций достигался при угле $\varphi = 90^\circ$, когда он имел величину $\Delta H = 9 \cdot 10^{-3}$ Oe. Зависимость сигнала от поля теряла свою регулярность в районе $H \approx 0.7$ Oe, причем, как показало сравнение спектров при прямом и обратном сканированиях, по мере приближения возвратной точки сканирования к этому значению поля, усиливались гистерезисные эффекты, которые вблизи $H = 0$ были ничтожно малы.

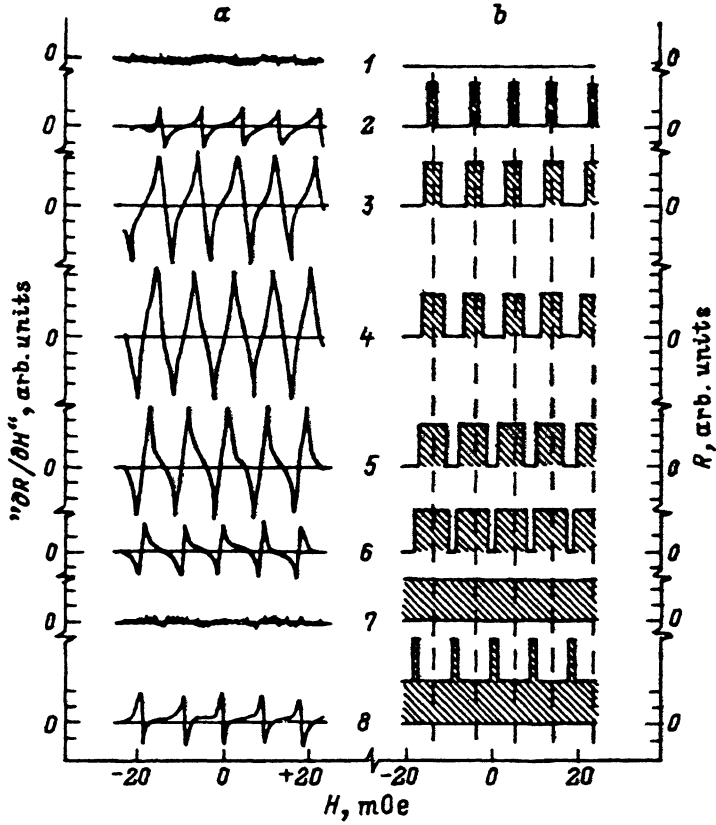


Рис. 1. Эволюция спектра поглощения с ростом СВЧ-мощности при $T = 79$ К.
 a — измеренные спектры сигнала $\langle \partial R(H) / \partial H \rangle$, b — соответствующие спектры поглощения $R(H)$ в сквидовой модели. Спектры пронумерованы в порядке равномерного возрастания СВЧ-мощности от -18.4 до -16.5 dB (0 dB соответствует $P_{\max} = 130$ mW).

В отличие от периода осцилляций амплитуда и вид зависимости сигнала от поля вблизи $H = 0$ резко изменялись при изменении СВЧ-мощности. На рис. 1, a это отражено показом нескольких графиков зависимости сигнала от поля вблизи $H = 0$ для $T = 79$ К и $\varphi = 90^\circ$, полученных при различных значениях СВЧ-мощности. Как видно из рисунка, амплитуда осцилляций сигнала при повышении СВЧ-мощности растет от нуля (кривая 1 a), проходит максимум (кривая 4 a) и затем спадает до нуля (кривая 7 a). При дальнейшем повышении СВЧ-мощности амплитуда снова возрастает (кривая 8 a) и, как показали дальнейшие измерения, указанная зависимость периодически повторяется, выражаясь во все новых и новых сериях кривых. Нами подробно было прослежено 15 таких серий.

Теперь обратим внимание на изменение с ростом СВЧ-мощности вида зависимости сигнала от H . Как видно из рис. 1, a , одним из отличительных признаков этой зависимости являются «плечи» — пологие части кривых, соединяющие максимумы и минимумы сигнала. Если на кривых 2 a и 3 a «плечи» находятся левее максимумов, то на кривых 5 a и 6 a они уже сдвинуты вправо от них. Кривая 4 a в этом смысле

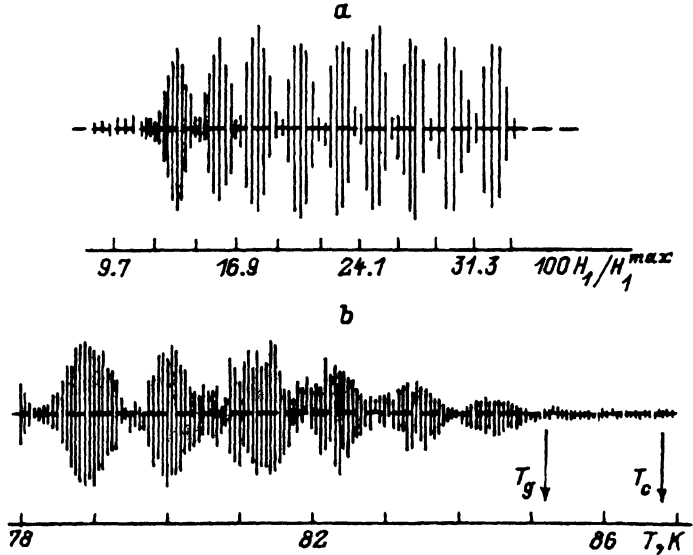


Рис. 2. Зависимости амплитуды осцилляций сигнала $\langle\delta R/\delta H\rangle$ от СВЧ-поля при $T = 79$ К (а) и от температуры при $P = -14.8$ dB (б).

H_1^{\max} — амплитуда СВЧ-поля при $P_{\max} = 130$ мВт (0 dB). Штриховые линии соответствуют нулю сигнала, амплитуды даны в относительных единицах.

сле является переходной, поэтому она выглядит симметричной. На кривой 8а, открывающей новую серию спектров, «плечи» снова находятся левее максимумов. При внимательном рассмотрении кривых можно заметить, что такое изменение их формы связано с движением максимумов и минимумов при повышении СВЧ-мощности: максимумы движутся влево, а минимумы вправо. Это движение экстремумов отчетливо видно на графиках 2, б-б, б, где вертикальными черточками отмечены положения максимумов и минимумов сигнала: максимумам соответствуют вертикальные черточки — левые границы заштрихованной части графиков, а минимумам — правые. С помощью этих графиков нетрудно сделать также вывод, что в пределах одной серии (графики 1-7) интервалы между максимумами и минимумами сигнала равномерно возрастают от нуля до величины периода осцилляций ΔH . И наконец, отметим важную деталь: график 8а(б), начинающий новую серию спектров, сдвинут по отношению к аналогичному графику 2а(б) из первой серии на полпериода, т. е. на $\Delta H/2$. Такой сдвиг, происходящий при переходе из одной серии в другую, наблюдался нами на протяжении всех 15 измеренных серий.

На рис. 2, а показана зависимость амплитуды осцилляций сигнала от амплитуды СВЧ-поля H_1 ($H_1 \sim P^{1/2}$, где P — подводимая СВЧ-мощность). Концы каждой из вертикальных линий, изображенных на этом рисунке, обозначают максимальное и минимальное значения сигнала в его зависимости от H при соответствующем значении H_1 . Из рисунка ясно видно образование серий, которые обсуждались выше. Обращает на себя внимание тот интересный факт, что пороговые значения H_1 , с которых начинаются серии и которые мы в дальнейшем будем обозначать как $H_1^{(n)}$ ($n = 1, 2, \dots$ — номер серии), отделе-

ны друг от друга равными интервалами ΔH_1 и могут быть выражены формулой арифметической прогрессии

$$H_1^{(n)} = H_1^{(1)} + (n - 1)\Delta H_1, \quad (1)$$

где $H_1^{(1)}$ — порог первой серии, являющийся одновременно и абсолютным порогом появления сигнала. Из рисунка также видно, что максимальный сигнал серии при увеличении порядкового номера « n » не проявляет какой-либо тенденции к росту или спаду, испытывая лишь небольшие колебания, носящие характер крупномасштабных по H_1 модуляций. Здесь уместно сделать следующее важное замечание. Поскольку измерения проводились в широком диапазоне СВЧ-мощностей, то нам приходилось использовать как квадратичный режим детектирования, так и линейный. Показанные на рис. 2, a первые девять серий были получены в режиме, близком к квадратичному, при котором, как известно, зависимость регистрируемого сигнала от СВЧ-мощности P соответствует истинной зависимости от P для ΔR ($\Delta R \sim R(H + h_m) - R(H - h_m)$). Последующие шесть серий были измерены уже в режиме, приближающемся к линейному. При этом наблюдался монотонный спад максимального сигнала от серии к серии. Не исключено, что указанный спад обусловлен хорошо известным в ЭПР-спектроскопии аппаратурным фактором $P^{-1/2}$, присутствующим в зависимости сигнала от P при использовании линейного режима детектирования.

Исследование температурной зависимости спектра сигнала в интервале $78\text{ K} < T < T_c$ дало следующие результаты. При изменении температуры в указанном интервале период осцилляций ΔH оставался неизменным. Пороговые значения $H_1^{(n)}$ при повышении (понижении) температуры испытывали однородный сдвиг в сторону меньших (больших) значений H_1 , так что интервал между порогами ΔH_1 также оставался неизменным по величине. Спектр сигнала при заданном H_1 с ростом T проходил те же фазы развития с образованием серий, которые наблюдались при росте H_1 и фиксированном T (рис. 1). Образование серий по температуре отчетливо видно на рис. 2, b, где показана зависимость амплитуды осцилляций сигнала от температуры при заданном H_1 (вертикальные линии на рисунке имеют тот же смысл, что и на рис. 2, b, с той лишь разницей, что они теперь соответствуют различным температурам). Чтобы различать два вида серий, мы в дальнейшем будем использовать следующие краткие обозначения: H_1 -серия (серия спектров, упорядоченных по H_1) и T -серия (серия спектров, упорядоченных по T).

Как видно из сравнения рис. 2, a и b, основное качественное отличие T -серий от H_1 -серий состоит в том, что максимальный сигнал T -серии монотонно спадает по мере возрастания его порядкового номера в направлении высоких температур. Обращает на себя внимание то, что температура исчезновения сигнала $T_g = 85.2\text{ K}$ находится заметно ниже критической температуры $T_c = 86.8\text{ K}$. Примечательным является также факт приблизительного равенства интервалов между порогами T -серий, имеющих величину $\Delta T = 1.1\text{--}1.3\text{ K}$. Было установлено, что при увеличении (уменьшении) H_1 , температурные пороги испытывают однородный сдвиг в сторону низких (высоких) температур, причем

в случае достаточно больших изменений H_1 отрицательный (положительный) сдвиг сопровождается появлением (исчезновением) при неизменной температуре T_g новых (имеющихся) серий. При достаточно низких значениях H_1 наблюдался абсолютный температурный порог появления сигнала, который с повышением H_1 , сдвигаясь в сторону низких температур, достигал азотной температуры и затем становился ненаблюдаемым. Именно последний случай и отображен на рис. 2, б, где первым наблюдаемым низкотемпературным порогом является порог третьей T -серии. Таким образом, мы приходим к выводу, что пороги T -серий могут быть выражены, как и в случае H_1 -серий, формулой арифметической прогрессии

$$T^{(n)} = T^{(1)} + (n - 1)\Delta T, \quad (2)$$

где $n = 1, 2, 3, \dots, N$ (N — максимальный номер, зависящий от H_1); $T^{(1)}$ — порог первой T -серии, являющийся одновременно абсолютным температурным порогом появления сигнала при заданном H_1 .

Как мы уже упоминали в начале, период осцилляций сигнала ΔH в используемой нами геометрии эксперимента зависит от угла φ между кристаллографической осью c и направлением поля H . Вращая монокристалл вокруг направления СВЧ-поля H_1 и измеряя период осцилляций сигнала ΔH при различных значениях угла φ , мы установили наличие следующей закономерности:

$$\Delta H(\varphi) = \Delta H(90^\circ) / \sin \varphi, \quad (3)$$

где $\Delta H(90^\circ) = 9 \cdot 10^{-3}$ Ое. Этот факт свидетельствует о том, что в монокристалле существует выделенное направление, параллельное кристаллографической плоскости (a, b), и что при влиянии внешнего поля на сигнал поглощения эффективным является только его проекция на это направление.

3. Обсуждение результатов и выводы

Все полученные нами экспериментальные результаты могут быть объяснены, если предположить существование в монокристалле сверхпроводящего контура со слабым звеном, т. е. сквида. Первым свидетельством в пользу такого предположения может служить вид спектра поглощения $R(H)$ и его эволюция с ростом СВЧ-мощности, выведенные из сквидовой модели и показанные на рис. 1, б в соответствии с измеренными спектрами сигнала « $\partial R / \partial H$ ». То, что сигналы « $\partial R / \partial H$ » в крайних спектрах каждой H_1 -серии исчезающие малы, можно объяснить тем, что амплитуда модуляции, в силу своей конечности, значительно превышает в начале серии ширину «линий поглощения» спектра $R(H)$, а в конце серии ширину «щели» между ними. Образование спектрами H_1 -серий обусловлено самим механизмом поглощения СВЧ-мощности в сквиде в случае его работы в гистерезисном режиме. Этот механизм состоит в том, что каждое стимулированное колебанием СВЧ-поля вхождение внутрь контура сквида или выход из него флюкса носит характер скачка и сопровождается диссипацией энергии в слабом звене. Номер n H_1 -серии в сквидовой модели указывает

на число последовательно входящих (выходящих) в течение одного периода колебания СВЧ-поля флюксонов, участвующих в образовании максимумов поглощения в спектрах $R(H)$ данной серии (минимумам в этом же смысле соответствует $n - 1$ флюксонов). Примечательно то, что возрастание поглощения от серии к серии, сводится лишь к росту однородного «фона» спектра $R(H)$, интенсивность же изменяющейся от H части спектра, т. е. «линий поглощения», остается неизменной. Последнее объясняет наблюдаемое нами примерное постоянство максимума сигнала $\langle \partial R / \partial H \rangle$ при возрастании номера серии. Указанный однородный «фон», как видно из рис. 1, б, образуется в результате смыкания «линий поглощения» в конце каждой серии, и, следовательно, он должен накапливаться с ростом номера серии.

Из сквидовой модели следует, что центры «линий поглощения» в спектрах соседних серий должны быть сдвинуты относительно друг друга на полпериода, причем центр одной из «линий поглощения» в сериях с четными n должен находиться в точке $H = 0$. Оба эти положения согласуются с нашими измерениями.

И наконец, согласно сквидовой модели

$$\Delta H = \Phi_0 / [S \cdot \cos(\mathbf{H}, \mathbf{n})] \quad (4)$$

(Φ_0 — квант магнитного потока, S — площадь сквида, \mathbf{n} — нормаль к площадке сквида), что согласуется с наблюданной нами закономерностью (3), если только считать, что \mathbf{n} лежит в кристаллической плоскости (\mathbf{a}, \mathbf{b}).

Перейдем теперь к количественной проверке справедливости сквидовой модели микроволнового поглощения. При этом для сквида мы будем использовать линейную теорию Силвера-Циммермана [10]. Согласно этой теории, пороги H_1 -серий должны определяться формулой (1), причем входящие в нее величины ΔH_1 и $H_1^{(1)}$ имеют следующие выражения через основные параметры сквида:

$$\Delta H_1 = \Phi_0 / [2S \cdot \cos(\widehat{\mathbf{H}_1, \mathbf{n}})], \quad (5)$$

$$H_1^{(1)}(T) = \Delta H_1 [2Li_c(T) - \Phi_0] / \Phi_0, \quad (6)$$

где L, i_c — соответственно индуктивность и критический ток сквида.

В связи с формулами (4) и (5) сделаем следующее отступление. Использованная нами геометрия эксперимента не позволяет полностью определить направление \mathbf{n} . Экспериментальные данные, выраженные формулой (3), позволяют лишь утверждать, что вектор \mathbf{n} находится в плоскости (\mathbf{a}, \mathbf{b}). Однако существует косвенный способ доопределения этого вектора. При ориентации монокристалла с $\varphi \equiv (\widehat{\mathbf{H}, \mathbf{c}}) = 90^\circ$ плоскость (\mathbf{a}, \mathbf{b}) совпадает с плоскостью (\mathbf{H}_1, \mathbf{H}) и поэтому $\cos(\widehat{\mathbf{H}, \mathbf{n}}) = \sin(\widehat{\mathbf{H}_1, \mathbf{n}})$. Тогда из (4) и (5) следует

$$\operatorname{tg}(\widehat{\mathbf{H}, \mathbf{n}}) = \Delta H / 2\Delta H_1.$$

Для указанной ориентации монокристалла, как это видно из рис. 1 и 2, а, $\Delta H = 9 \cdot 10^{-3}$ Ое и $\Delta H_1 = 2.4 \cdot 10^{-2} \cdot H_1^{\max}$. Принимая в качестве

грубой оценки поля H_1^{\max} его расчетное значение в случае ненагруженного резонатора $H_1^{\max} \approx 1.6$ Ое, находим, что

$$\operatorname{tg}(\widehat{H}, n) \approx 10^{-1}.$$

Малость полученного числа означает, что вектор n по направлению практически совпадает с вектором H . В нашем эксперименте при рассматриваемой ориентации монокристалла две из его малых граней, параллельных оси c , оказывались ориентированными перпендикулярно к H . Поэтому естественно сделать вывод, что вектор n перпендикулярен к этим граням, а плоскость сквидового контура соответственно параллельна им. Полагая в (4) $\cos(\widehat{H}, n) \approx 1$, можно также найти площадь сквида

$$S \approx \frac{\Phi_0}{\Delta H} \approx 2 \cdot 10^{-3} \text{ mm}^2.$$

Во избежание недоразумений следует сделать замечание. Мы имеем в эксперименте ситуацию, близкую к случаю $H_1 \perp n$, $H \parallel n$. При точном выполнении этих условий для наблюдения сквидового сигнала потребовался бы подвод бесконечно большой СВЧ-мощности, так как в этом случае формулы (5) и (6) дают расходящиеся величины. В реальности же всегда существует небольшая ошибка, при установлении образца в держателе. Найденному нами значению $\operatorname{tg}(\widehat{H}, n) \approx 10^{-1}$ соответствует ошибка $\sim 5^\circ$, которая вполне могла быть допущена при установке образца вследствие его малых размеров. Именно благодаря этому обстоятельству мы получили в эксперименте конечные значения для ΔH_1 , которые являлись в то же время достаточно большими, чтобы обеспечить хорошую точность при определении этой величины. Необходимо отметить, что указанная ошибка никоим образом не влияет на делаемые далее выводы в виду общности используемых нами формул.

Существование T -серий спектров поглощения также легко объяснимо в сквидовой модели. Известно, что критический ток джозефсоновских переходов монотонно уменьшается с ростом температуры. Соответственно, как это следует из (6) и (1), пороговые значения $H_1^{(n)}$ при повышении температуры должны испытывать однородный сдвиг в сторону их уменьшения, а спектр поглощения вследствие этого будет проходить при фиксированном H_1 те же посерийные стадии развития, как и в случае повышения H_1 при фиксированной температуре. Очевидно, что пороговые значения $T^{(n)}$ при данном H_1 определяются уравнением

$$H_1^{(n)}(T^{(n)}) = H_1. \quad (7)$$

Из (7) следует, что формула (2), описывающая экспериментально найденные нами пороги T -серий, является справедливой в сквидовой модели, если критический ток i_c падает с ростом температуры по линейному закону

$$i_c(T) = \alpha(T^* - T) \quad (8)$$

(α и T^* — постоянные величины), при этом входящие в (2) величины ΔT и $T^{(1)}$ имеют следующие выражения:

$$\Delta T = \Phi_0 / 2L\alpha, \quad (9)$$

$$T^{(1)}(H_1) = T^* - \Delta T \cdot (1 + H_1/\Delta H_1). \quad (10)$$

В сквидовой модели амплитуда осцилляций сигнала имеет выражение

$$(\langle\langle \partial R / \partial H \rangle\rangle)^{\max} \sim 2\nu [2Li_c(T) - \Phi_0] \cdot \Phi_0 / 2L, \quad (11)$$

из которого следует, что интенсивность сигнала должна падать с ростом температуры. Видимый на рис. 2, б практически линейный спад сигнала соответствует условию (8). Температура T_g , при которой мы наблюдали исчезновение сигнала, имеет определенный смысл, а именно, это есть температура, для которой

$$Li_c(T_g)/\Phi_0 = 1/2 \quad (12)$$

(при $T > T_g$ сквид действует уже в безгистерезисном режиме, при котором рассматриваемый механизм поглощения перестает функционировать). Уравнение (12) совместно с (8) и (9) приводит к равенству

$$T^* = T_g + \Delta T. \quad (13)$$

Подставляя в него экспериментально найденные значения $T_g = 85.2 \pm \pm 0.1$ К и $\Delta T = 1.2 \pm 0.1$ К, находим, что $T^* = 86.4 \pm 0.2$ К. Полученное значение T^* практически совпадает с измеренной критической температурой $T_c = 86.8 \pm 0.2$ К, что соответствует теории джозефсоновских переходов [11].

Пользуясь представленными выше формулами, нетрудно получить для «параметра гистерезисности» $Li_c(T)/\Phi_0$ следующие его три выражения через различные наборы экспериментально определяемых величин:

$$[(N - n) + 1]/2 \leq Li_c(T^{(n)})/\Phi_0 < [(N - n) + 2]/2, \quad (14)$$

где $T^{(n)}$ — пороговые температуры и N — максимальный номер T -серий, наблюдаемые при каком-либо конкретном значении H_1

$$Li_c(T)/\Phi_0 = 1/2[1 + (T_g - T)/\Delta T], \quad (15)$$

$$Li_c(T)/\Phi_0 = 1/2[1 + H_1^{(1)}(T)/\Delta H_1]. \quad (16)$$

С помощью формул (14)–(16) можно проверить самосогласованность наших экспериментальных данных. Например, на рис. 2, б первому видимому порогу T -серий соответствует $T = 78.2$ К, простым подсчетом полного числа последующих порогов находим, что $(N - n) = 5$, и, следовательно, согласно (14) имеем

$$Li_c(T = 78.2 \text{ K})/\Phi_0 = 3.0 - 3.5. \quad (17)$$

Для сравнения приведем результат оценки «параметра гистерезисности», проведенной для этой же температуры по формуле (15) с использованием экспериментальных данных для ΔT и T_g ($\Delta T = 1.2 \pm 0.1$ К, $T_g = 85.2 \pm 0.1$ К)

$$Li_c(T = 78.2 \text{ K})/\Phi_0 = 3.5 \pm 0.3. \quad (18)$$

Видно, что результаты обеих оценок согласуются между собой.

Продолжая тест на самосогласованность наших экспериментальных данных, определим теперь «параметр гистерезисности» с помощью (16), пользуясь данными из рис. 2, а: $T = 79$ К, $H_1^{(1)}/\Delta H_1 = (12.1 \pm 0.3)/(2.4 \pm 0.1)$. В результате простых вычислений получаем

$$Li_c(T = 79 \text{ K})/\Phi_0 = 3.0 \pm 0.2. \quad (19)$$

Формула же (15), как в этом нетрудно убедиться, дает для $T = 79$ К

$$Li_c(T = 79 \text{ K})/\Phi_0 = 3.1 \pm 0.3. \quad (20)$$

Таким образом, мы видим, что полученные нами экспериментальные данные оказываются количественно самосогласованными в рамках сквидовой модели. На наш взгляд, этот факт является наиболее убедительным свидетельством в пользу сквидовой природы микроволнового поглощения в ВТСП-моноокристаллах типа 1-2-3.

Список литературы

- [1] С.В. Богачев, Г.А. Емельченко, В.А. Ильин и др. Письма в ЖЭТФ **47**, 166 (1988).
- [2] K.W. Blazey, A.M. Portis, K.A. Muller, F.H. Holtzberg. Europhys. Lett. **6**, 5, 457 (1988).
- [3] A.A. Бугай, А.А. Буш, И.М. Зарицкий и др. Письма в ЖЭТФ **46**, 4, 209 (1988).
- [4] А.А. Кончиц, И.М. Зарицкий, А.А. Бугай и др. СФХТ **2**, 6, 25 (1989).
- [5] H. Vichery, F. Beuneu, P. Lejay. Physica **C159**, 823 (1989).
- [6] Г.С. Патрин, Г.А. Петраковский, К.А. Саблина, Ю.Н. Устюжанин. СФХТ **4**, 10, 1913 (1991).
- [7] B.B. Троицкий, М.А. Крыкин, Ю.А. Язловецкая и др. СФХТ **6**, 4, 728 (1993).
- [8] B.F. Kim, K. Moorjani, J. Bohandy, F.J. Adrian. J. Appl. Phys. **63**, 2029 (1988).
- [9] М.К. Алиев, Я. Ваврыщук, С.П. Волосянный, Т.М. Муминов, Б.А. Олимов, И. Холбаев. ФТТ **31**, 9, 254 (1989).
- [10] A.H. Silver, J.E. Zimmerman. Phys. Rev. **157**, 2, 317 (1967).
- [11] А. Бароне, Дж. Патерно. Эффект Джозефсона. Физика и применение. М. (1984). 639 с.